ления оксидов в режиме горения при низких температурах, что может позволить регулировать морфологию и структуру СВС продукта.

Литература:

- 1. Miedema A.R., Boom R., Boer F.R. On the heat of formation of solid alloys. J. Less-Common Met., 1975, v. 41, No 2, p. 283-298.
- 2. Miedema A.R. On the heat of formation of solid alloys (II). J. Less-Common Met., 1976, v. 46, No 1, p. 67-83.
- 3. Аввакумов Е.Г., Поткин А.Р., Самарин О.И. . Планетарная мельница. А.с. СССР № 975068. БИ. № 43. 1982.

МЕТОДИКА РАСЧЕТА ВЯЗКОСТИ ФОРМУЕМЫХ КОМПОЗИЦИЙ ИЗ СВЯЗУЮЩЕГО И ПОЛИДИСПЕРСНЫХ ПОРОШКОВ

ДОВЫДЕНКОВ В.А.¹, МЕРЗЛЯКОВА О.С.²

¹ООО «Наномет», г. Йошкар-Ола, Россия, тел.: (+78362)41-42-99, e-mail: metma@yoshkar-ola.ru ²Марийский государственный технический университет, г. Йошкар-Ола, Россия, e-mail: MerzlyakovaOS@mail.ru

При изготовлении деталей из композиций порошков и связующего инжекционным, мундштучным, прямым пресованием важнейшим параметром технологии является степень наполнения композиций твердой фазой, поскольку, чем выше степень наполнения, тем меньше усадка и коробление изделий при спекании и, соответственно, выше размерная точность, что является рещающим для конкурентоспособности этих технологий. Вместе с тем увеличение степени наполнения увеличивает вязкость композиций, и при определенной критической степени наполнения композиции вообще теряют текучесть. Известно, что приемлемые для технологии соотношения между вязкостью и степенью наполнения могут быть достигнуты за счет применения полидисперсных наполнителей, в которых частицы меньшего размера могут размещаться в полостях между более крупными частицами, как бы «выдавливая» из этих полостей связующее, в результате чего связующего на поверхностях скольжения становится больше и это приводит к уменьшению вязкости композиции. Как показано в работах [1,2] вязкость композиции, в которой твёрдая фаза состоит из одного монодисперсного компонента, может быть, с достаточной для практического применения, точностью рассчитана согласно выражения [1]:

$$\frac{\eta_k}{\eta} = \frac{A}{1 - \left(\frac{\gamma}{\gamma_k}\right)^{\frac{1}{3}}} , \tag{1}$$

где η_k и η – вязкости композиции и связующего; А – коэффициент, различный для разных видов твердофазного наполнителя и определяемый экспериментально; γ – объемное содержание

твердой фазы; γ_k – критическое объемное содержание твердой фазы, при котором композиция теряет текучесть.

Если композиция содержит два компонента твердой фазы и при этом дисперсность этих компонентов существенно отличается, то вязкость таких композиций может быть описана уравнением [2]:

$$\frac{\eta_K}{\eta} = \frac{A}{\left[1 - \left(\frac{\gamma_1}{\gamma_{k1}}\right)^{\frac{1}{3}}\right] \cdot \left[1 - \left(\frac{\gamma_2}{\gamma_{k2}}\right)^{\frac{1}{3}}\right]},\tag{2}$$

где γ_1 – объемное содержание наполнителя №1 в композиции в целом; γ_2 – объемное содержание наполнителя № 2 в системе «наполнитель №2 – связующее»; γ_{k1} и γ_{k2} – критические объемные содержания наполнителя №1 и №2, соответственно.

Для композиций с 3-х компонентным наполнителем вязкость может быть рассчитана согласно уравнения [3]:

$$\frac{\eta_K}{\eta} = \frac{A}{\left[1 - \left(\frac{\gamma_1}{\gamma_{k1}}\right)^{\frac{1}{3}}\right] \cdot \left[1 - \left(\frac{\gamma_2}{\gamma_{k2}}\right)^{\frac{1}{3}}\right] \cdot \left[1 - \left(\frac{\gamma_3}{\gamma_{k3}}\right)^{\frac{1}{3}}\right]},\tag{3}$$

где γ_1 - объемное содержание наполнителя №1 в композиции в целом; γ_2 - объемное содержание наполнителя №2 в системе: связующее + наполнитель №2 + наполнитель №3; γ_3 - объемное содержание наполнителя №3 в системе: связующее + наполни-

тель №3. γ_{k1} , γ_{k2} , γ_{k3} - критические объемные содержания 1-го, 2–го и 3-го компонентов в системах компонент — связующее, при которых такие однокомпонентные композиции теряют текучесть; η - динамическая вязкость связующего; η_k - динамическая вязкость композиции; А — постоянная, определяемая экспериментально.

В данном случае объемное содержание твердой фазы в композиции (γ) составит величину, рассчитываемую по уравнению [4]:

$$\gamma = \gamma_1 + (1 - \gamma_1) \cdot \gamma_2 + (1 - \gamma_1)(1 - \gamma_2)\gamma_3 \tag{4}$$

Таблицы значений $\frac{\eta_{\scriptscriptstyle k}}{\eta} \cdot \frac{1}{A}$ для заданных значений величины

 γ и при различных величинах $\gamma_{_{1,}}$ $\gamma_{_{2,}}$ $\gamma_{_{3}}$

Таблица 1

 $\gamma = 0.5$ 0.05 0.1 0.15 0,2 0.25 0,3 0,35 0.4 0.45 0,05 0,1 0,15 0.2 0.25 0.3 0,35 0.4 0,45

Таблица 2

| | γ _{=0,6} | | | | | | | | | | |
|---------|-------------------|-----|------|-----|------|-----|------|-----|------|-----|--|
| 7 2 7 3 | 0,05 | 0,1 | 0,15 | 0,2 | 0,25 | 0,3 | 0,35 | 0,4 | 0,45 | 0,5 | |
| 0,05 | 124 | 103 | 90 | 83 | 79 | 79 | 80 | 88 | 106 | 166 | |
| 0,1 | 104 | 96 | 90 | 86 | 85 | 85 | 89 | 97 | 117 | 178 | |
| 0,15 | 93 | 92 | 89 | 88 | 88 | 90 | 94 | 103 | 123 | 179 | |
| 0,2 | 88 | 90 | 90 | 90 | 91 | 94 | 99 | 108 | 1126 | 122 | |
| 0,25 | 86 | 91 | 92 | 94 | 96 | 99 | 104 | 112 | 1118 | - | |
| 0,3 | 89 | 95 | 98 | 101 | 103 | 106 | 110 | 111 | - | ı | |
| 0,35 | 98 | 106 | 110 | 113 | 115 | 117 | 114 | - | - | - | |
| 0,4 | 120 | 130 | 136 | 139 | 139 | 133 | - | 1 | - | ı | |
| 0,45 | 191 | 207 | 213 | 213 | 194 | - | - | - | - | - | |

Таблица 3

| | $\gamma_{=0,7}$ | | | | | | | | | |
|-------------------------------|-----------------|-----|------|-----|------|-----|------|-----|------|-----|
| γ ₂ γ ₃ | 0,05 | 0,1 | 0,15 | 0,2 | 0,25 | 0,3 | 0,35 | 0,4 | 0,45 | 0,5 |
| 0,05 | - | - | - | - | 549 | 320 | 252 | 237 | 261 | 392 |
| 0,1 | - | - | - | 698 | 373 | 281 | 248 | 245 | 280 | 428 |
| 0,15 | - | 1 | 754 | 405 | 300 | 258 | 242 | 250 | 291 | 453 |
| 0,2 | - | 726 | 414 | 313 | 267 | 246 | 242 | 256 | 305 | 477 |
| 0,25 | 598 | 399 | 315 | 275 | 252 | 244 | 247 | 267 | 320 | 502 |
| 0,3 | 363 | 314 | 283 | 264 | 254 | 253 | 262 | 286 | 346 | 534 |
| 0,35 | 305 | 295 | 283 | 277 | 274 | 279 | 292 | 322 | 384 | 572 |
| 0,4 | 322 | 327 | 328 | 329 | 333 | 343 | 361 | 394 | 458 | 443 |
| 0,45 | 468 | 494 | 505 | 517 | 527 | 546 | 569 | 605 | 566 | - |

Таблица 4

| / _{=0,8} | | | | | | | | | | | |
|-------------------|------|-----|------|------|------|------|------|------|------|------|--|
| 7 2 7 3 | 0,05 | 0,1 | 0,15 | 0,2 | 0,25 | 0,3 | 0,35 | 0,4 | 0,45 | 0,5 | |
| 0,05 | | - | - | ı | - | - | - | ı | - | 4106 | |
| 0,1 | • | • | - | ı | ı | - | - | ı | - | 2754 | |
| 0,15 | • | • | - | ı | ı | - | - | ı | 2507 | 2226 | |
| 0,2 | - | - | - | - | - | - | - | 3125 | 1731 | 1976 | |
| 0,25 | • | • | - | ı | ı | - | 3979 | 1718 | 1426 | 1870 | |
| 0,3 | 1 | - | - | ı | - | 4775 | 1812 | 1351 | 1335 | 1880 | |
| 0,35 | ı | 1 | 1 | ı | 4419 | 1932 | 1397 | 1267 | 1364 | 2031 | |
| 0,4 | ı | 1 | 1 | 4010 | 2142 | 1617 | 1424 | 1410 | 1609 | 2462 | |
| 0,45 | - | - | 4346 | 2936 | 2349 | 2110 | 2022 | 2126 | 2497 | 3911 | |

Следует отметить, что наиболее важно знать не абсолютные значения величин вязкости, а характер ее изменения в зависимости от состава композиции. Как видно из таблиц значений вязкости, предложенная методика позволяет расчётным путем определить области концентраций компонентов, при которых вязкость композиций минимальна и при которых вязкость мало изменяется при флуктуациях величин γ_1 , γ_2 , γ_3 . Для наглядности на рисунке 1 приведены графики измене-

ния величины $\frac{\eta_k}{n} \cdot \frac{1}{A}$ в трехмерном изображении.

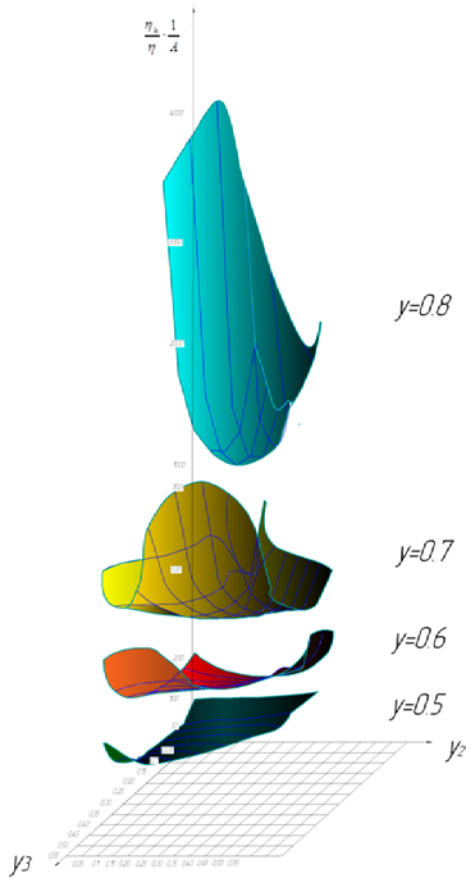


Рис. 1. Трехмерное изображение изменения величины $\dfrac{\eta_{\scriptscriptstyle k}}{\eta}\cdot \dfrac{1}{A}$

Определение области концентраций компонентов, при которых вязкость композиций минимальна и при которых вязкость мало изменяется при флуктуациях величин γ_1 , γ_2 , γ_3 . важно как с точки зрения снижения трудоемкости работ по оптимизации составов, так и с точки зрения определения таких составов, в которых неизбежные флуктуации концентрации не будут влиять на сплошность изделий, полученных прессованием.

Литература:

- 1. Dovydenkov, V.A. Model and Method to Calculate Viscosity of Metal and polymer Composites (MIM Feedstocks)/V.A. Dovydenkov//Prog. Of the PM2008 International Powder Metallurgy Congress. Mannheim. 29th September 1st October 2008. Vol.2 P.263-268.
- 2. Довыденков, В.А. Модель для расчета вязкости композиций порошок связующее для получения заготовок путем их литья и спекания / В.А. Довыденков, Г.П. Фетисов //Заготовительные производства в машиностроении. 2009.- №1. С. 47-49.

ИССЛЕДОВАНИЕ УСАДОЧНЫХ И КАПИЛЛЯРНЫХ СВОЙСТВ ПОРОШКОВО-ВОЛОКНОВЫХ ПОРИСТЫХ КАПИЛЛЯРНЫХ СТРУКТУР

ДОКТОРОВ В. В., ИЛЬЮЩЕНКО А.Ф., МАЗЮК В. В.

Институт порошковой металлургии, г. Минск, Беларусь

Введение. Существенным недостатком порошковых капиллярных структур является относительно большая усадка при спекании, которая приводит к возникновению усадочных пор на границе капиллярной структуры и корпуса тепловой трубы. дополнительное Усадочные поры создают сопротивление между корпусом и структурой и тем самым резко ухудшают параметры тепловой трубы. Этот эффект практически не заметен для тепловых труб диаметром 14-16 мм, но оказываются существенным при изготовлении тепловых труб диаметром 6-8 мм и особенно сильно проявляется при изготовлении миниатюрных тепловых труб. Причины усадки в порошковых капиллярных структурах объясняются в работе [1]. При этом важно, что силы, вызывающие усадку, возникают на границе соприкасающихся частиц порошка и приводят к сближению центров этих частиц.

Моделирование порошково-волокновых капиллярных структур. Усадке препятствуют силы межчастичного трения. Если капиллярная структура при усадке представлена как межчастичного трения сплошная среда, то силы соотнести с эффективным модулем упругости капиллярной структуры, который характеризует явления, препятствующие усадке. Таким образом, капиллярную структуру, подвергающуюся усадке при спекании, можно представить как сплошную среду, подвергающуюся сжатию под действием сил. равномерно распределенных по объему. Одним из наиболее